

# Cours ALÉA 2021

+ longues  
Sous-faits



HAMMERSLEY

pendant  
de  
dernier  
passage

N. ENRIQUÉZ

---

---

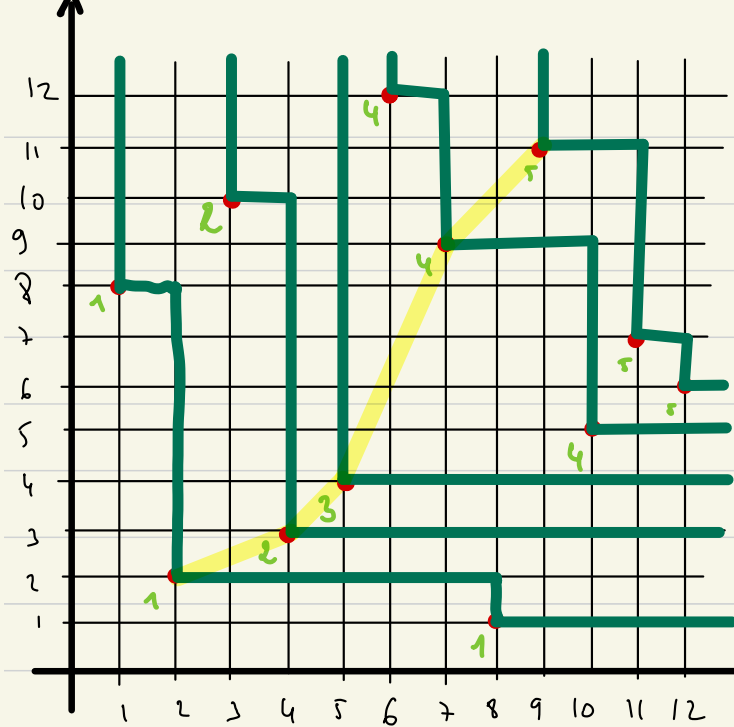
---



I Problème de la + longue sous suite ↗ d'une permutation aléatoire

Definition: Si  $\sigma$  est une permutation de  $\{1, \dots, n\}$ , une sous-suite ↗ de  $\sigma$ , c'est une suite d'entiers  $i_1, \dots, i_k$  tq  $1 \leq i_1 < \dots < i_k \leq n$  et  $\sigma(i_1) < \dots < \sigma(i_k)$

Théorème: (Erdős-Szekeres) (1935) Pour toute permutation de  $\{1, \dots, n\}$  il existe une sous-suite monotone de cardinal  $\geq \sqrt{n}$



Ici  $n=12$ , on a 5 lignes, ce qui assure de pouvoir construire une sous-suite  $\nearrow$  de cardinal 5.

Preuve: Soit  $L_n$  le nombre de lignes construites.

De deux choses l'une

① Soit  $L_n \geq \sqrt{n}$  et on a une sous suite croissante de cardinal  $\geq \sqrt{n}$ .

② Soit  $L_n \leq \sqrt{n}$ , et alors l'une des

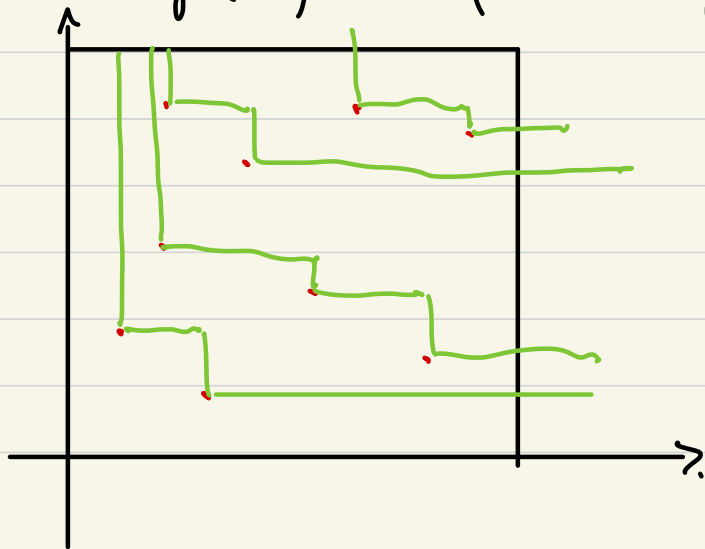
lignes contiendra un nombre de pts  $\geq \sqrt{n}$ , et on aura une sous-suite de croissante de cardinal  $\geq \sqrt{n}$ .

Remarque: le nombre de lignes (de Hammetley) correspond au cardinal **MAXIMAL** d'une sous suite  $\nearrow$  de  $\sigma$ .

Question historique: (Ulam) Etant donnée une permutation  $\sigma$  de  $\{1, \dots, n\}$ .  
 triée uniformément dans  $S_n$ , quelle est l'asymptotique du cardinal maximal  
 d'une sous-suite croissante de  $\sigma$ ?

Réponse attendue:  $\sim C \sqrt{n}$

Hammersley (74): "A few seedlings of research"



$$\sim C \sqrt{n}.$$

$$\frac{\pi}{2} \leq C \leq e$$

$$C = 2$$

Th (79)

logan. Shepp.

Kerov-Vershik.

$$p^{14+16} (1-p)^{13+15}$$

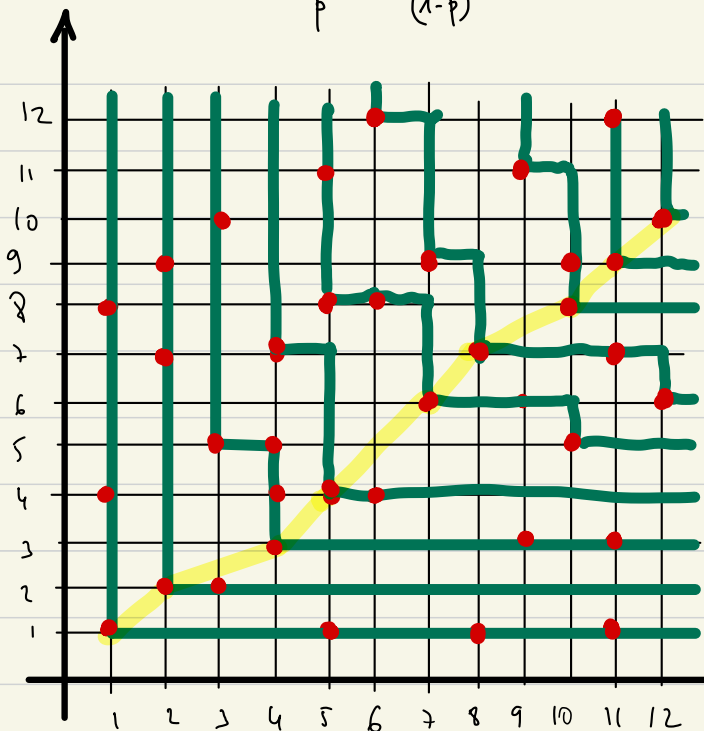
Soit  $p \in (0,1)$ , on place sur  $\mathbb{N}^2$   
un point en chaque sommet avec proba  $p$ .

Question: Asymptotique du nombre  $L_{n,p}$   
défini comme le nombre maximal de  
points qu'un chemin strict NE peut attraper.  
(N et E sont interdits).

Réponse:  $\lim_{n \rightarrow \infty} \frac{L_{n,p}}{\sqrt{p \times n}} = f(p)$ .

$f(p)$  explicite  $\rightarrow f(p) \xrightarrow{p \rightarrow 0} 2$

Bingo!



$n = 12, p \in (0,1)$

# pts  $\bullet = p n^2$        $L_{n,p} = 9$

Argument pour montrer que  $\frac{L_n^{(p)}}{n}$  tend vers une constante : théorème semi-additif de Kingman.

Th. (Kingman) Soit  $(X_{m,n})_{0 \leq m < n}$  une famille de v.a. tq :

- ①  $X_{0,n} \leq X_{0,m} + X_{m,n}$  pour tout  $u < n$ .
- ②  $\forall k \geq 1$ , la suite  $(X_{nk, (m+1)k})_{n \geq 0}$  est suite de v.a. iid.
- ③  $\forall m \geq 1$  les suites  $(X_{0,k})_{k \geq 1}$  et  $(X_{n, n+k})_{k \geq 1}$  ont  $\tilde{m}$  loi.
- ④  $E[|X_{0,1}|] < +\infty$  et  $\exists M > 0$  tq  $\forall m \geq 1 E[X_{0,m}] \geq -Mm$

Conclusion:  $\lim_{n \rightarrow +\infty} \frac{X_{0,n}}{n} = \lim_{n \rightarrow +\infty} \frac{E[X_{0,n}]}{n} = \gamma \in [-M, +\infty[$   
*p.s. et dans  $L^1$*

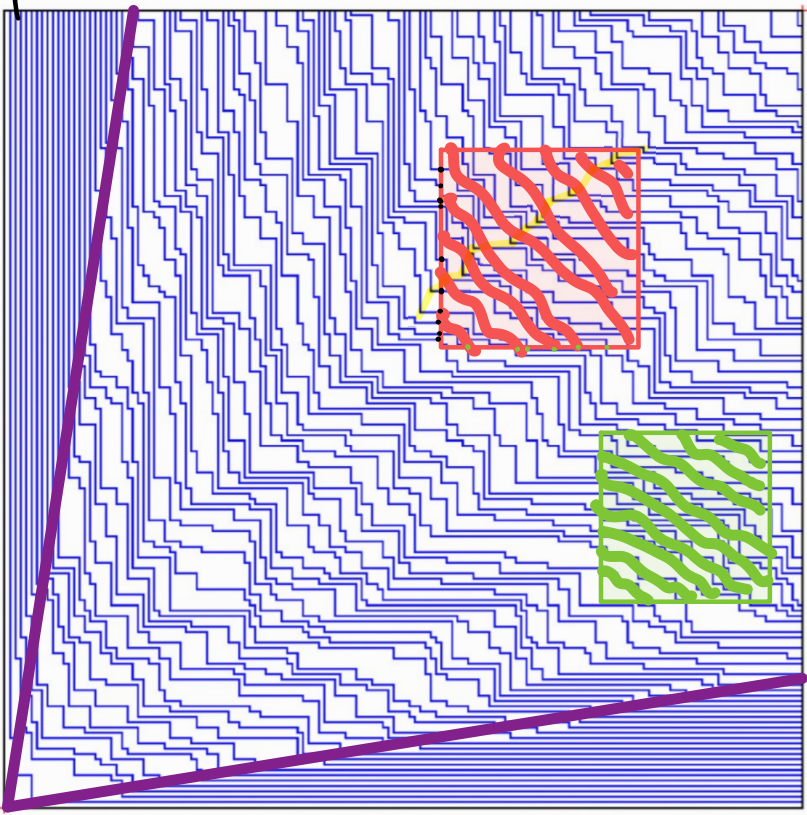


$$X_{m,m} = -L_{(m,m)}^{(p)}$$

$$-X_{0,n} \stackrel{p.s.}{=} -X_{0,m} - X_{m,m}$$

*par concaténation.*

$\frac{1}{2} \alpha$   
 $3 \alpha$



$y \leq px$

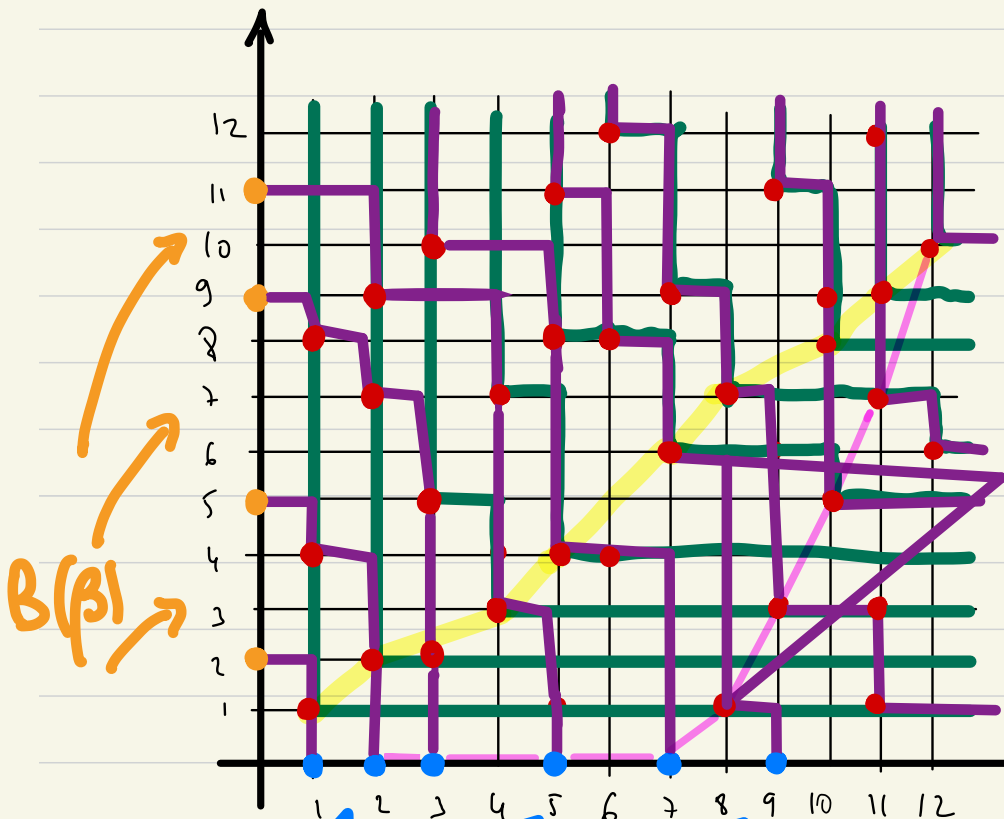
0

m

Idee: Introduire des **sources** et des **puits** Cator et Coenboom (00').

Cadre presenté:

A.C. Basdevant, E. L. Guénin,  
J.B. Guénin.



Comment choisir

$\alpha, \beta$  en fonction de

$p$  pour que le système

soit stationnaire ?

o.

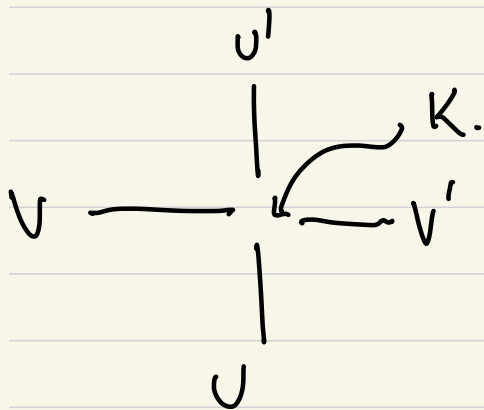
$B(\alpha)$

$$L_m^{(p)} = 9 \leq L_{m, \alpha, \beta}^{(p)} = 10$$



La magie! Ne considérer qu'une situation locale au voisinage d'un

noeud et la stationnarité locale  $\Rightarrow$  la stationnarité sur tout le  $\frac{1}{4}$  de plan.



$U, V, U', V'$  valent 1 ou 0 en cas de présence de ligne ou pas.  
 $K = 1$  ou 0 en cas de présence de  $\bullet$  ou pas.

$$(U, V) = (1, 1) \Rightarrow (U', V') = (0, 0)$$

$$(U, V) = (1, 0) \Rightarrow (U', V') = (1, 0)$$

$$(U, V) = (0, 1) \Rightarrow (U', V') = (0, 1)$$

$$(U, V) = (0, 0) \text{ et } K=1 \Rightarrow (U', V') = (1, 1) \Rightarrow P((U', V') = (1, 1)) = P((U, V) = (0, 0), K=1)$$

$$(U, V) = (0, 0) \text{ et } K=0 \Rightarrow (U', V') = (0, 0)$$

Relation de stationnarité:

$$\alpha \beta = \bar{\alpha} \bar{\beta} p$$

$$\alpha \beta = \bar{\alpha} \bar{\beta} p$$

Hypothèse:

$$U, V \perp \quad U \sim B(\alpha) \\ V \sim B(\beta)$$

$$K \perp (U, V) \quad K \sim B(p)$$

$L_{n, \alpha, \beta}^{(P)}$  : nombre de lignes qui tombent dans 1 puits. (1)

nombre de lignes qui finissent sur le côté supérieur du carré. (2)

(1) : # puits  $\sim \beta n$  (LGN).

(2)  $\stackrel{(\text{lin})}{=} \# \text{ sources}$  (par stationnarité).

$$L_{n, \alpha, \beta}^{(P)} \sim (\alpha + \beta) n$$

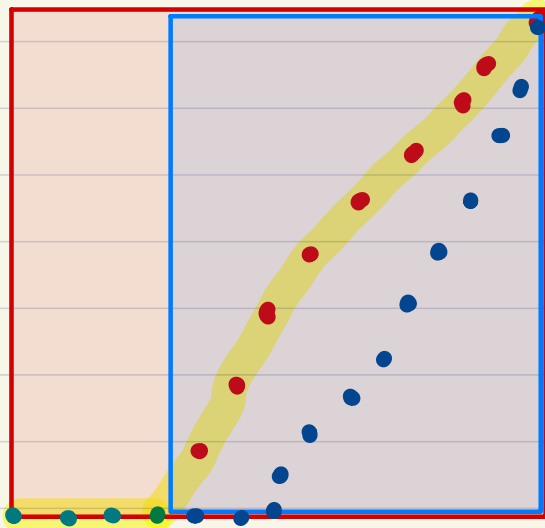
$\sim \alpha n$  (LGN).

Hic: ce qui nous intéresse c'est  $L_n^{(P)}$  ! On sait que  $L_n^{(P)} \leq L_{n, \alpha, \beta}^{(P)}$

$$\liminf \frac{L_n^{(P)}}{n} \leq \inf_{\alpha \beta = \bar{\alpha} \bar{\beta} p} (\alpha + \beta) \quad \left( \text{réalisé par } \alpha = \beta \right) \quad \frac{2\sqrt{p}}{1 + \sqrt{p}}$$

$\frac{\alpha}{\beta} = \sqrt{p}, \quad \alpha = \sqrt{p}(1 - \alpha) \quad \alpha = \frac{\sqrt{p}}{1 + \sqrt{p}}$

Pourquoi l'optimisation en  $\alpha, \beta$  donne le bon résultat ?



$$L_n(\rho) \stackrel{?}{\sim} L_n(\rho)_{\alpha_{opt}, \beta_{opt}}$$

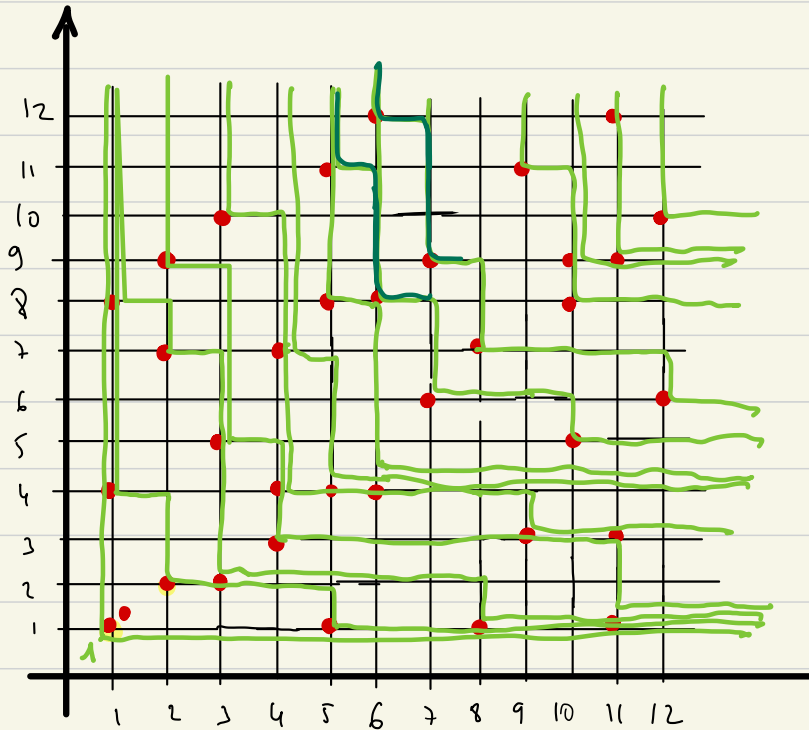
Il faut mg on n'utilise pas de source dans le trajet optimal.

Idée: Ou raisonne par l'absurde,

si on mangeait un nombre macroscopique de sources, on pourrait ajouter ces sources, à l'optimal avec source et puits dans le rectangle **bleu** et le calcul (explicite) montre que l'on ferait mieux que l'optimum **jaune** contradiction!

## II Percolation de dernier passage.

$N$  et  $E$  sont permis!



$$\pi_+ = \max(\pi, 0)$$

Les règles locales ont changé:

$$(u', v') = \mathcal{P}(u, v, K)$$

$$\left\{ \begin{array}{l} u' = K + (u - v)_+ \\ v' = K + (v - u)_+ \end{array} \right.$$

$$\text{Id } u, v, u', v' \in \mathbb{Z}_+$$

Malheureusement,

si  $K \sim B(p)$ , on ne trouve pas  $U, V$  tq  $(U', V') \stackrel{(L_{ij})}{=} (U, V)$ .

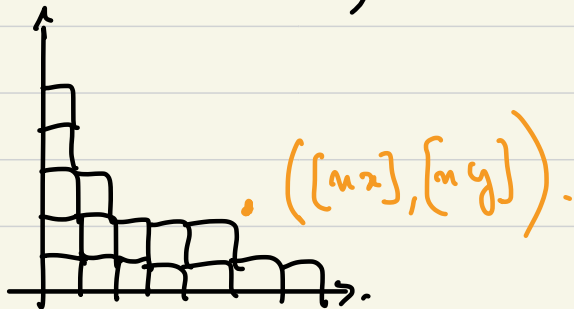
par contre

si  $K \sim \text{exp}(1)$  ou  $K \sim \text{Geom}(p)$ , alors il est possible de trouver

une couple  $(U, V)$  tq  $(U', V') \stackrel{(L_{ij})}{=} (U, V)$ .

si  $U \perp V$   $U \sim \text{exp}(p)$   $V \sim \text{exp}(1-p)$   $0 < p < 1$

alors  $(U', V') \stackrel{(L_{ij})}{=} (U, V)$ .



$$\frac{L_{[n_x, n_y]}}{n} \leq \frac{L_{p, \text{opt}}[n_x, n_y]}{n} \leq \frac{1}{n} \min_{p > 0} \left( \frac{n_x}{1-p} + \frac{n_y}{p} \right) = (\sqrt{x} + \sqrt{y})^2$$

Lignes de niveau  $\sqrt{x} + \sqrt{y} = \text{cste}$  axe de parabole

forme limite du CORNER GROWTH MODEL,

Exercice 1: **Morion Judoain** ou "Faire du modèle à 6-vertex sans de savoir".

Revenons au modèle du début du cours où l'on a fixé des puits et des sources, sur les axes. L'alla provient des points que l'on a placés en chaque point de  $\mathbb{N}^2$  avec probabilité  $p$ .

### A - Modèle à 5 sommets.

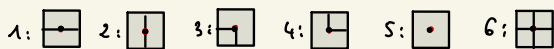
- 1) Pourquoi dit-on que l'on a affaire à un modèle à 5-sommets?
- 2) Quelle est la probabilité d'émergence d'une configuration de lignes à l'intérieur d'un carré  $[0, m]^2$ , en fonction du nombre de sommets de chaque type?

$$p^{141} (1-p)^{151}$$

### B - Passage à 6 sommets.

Vous avez sans doute remarqué que  $\begin{array}{|c|c|} \hline \square & \square \\ \hline \end{array}$  manquait à l'appel.

- 1) Trouver une manière analogue à celle du cours, pour engendrer une configuration à 6 sommets, où la probabilité d'une configuration est égale à  $p^{141+161} (1-p)^{151+151}$ , où les sommets de chaque type sont:



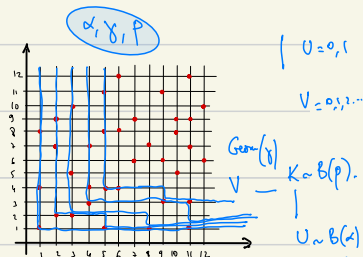
- 2) Trouver des distributions de sources et puits qui rendent le système ainsi construit, stationnaire.

Exercice 2: **À l'Est, il y a du nouveau.** On ne propose de

reprendre le cours 1, dans le cas où les pas vers l'Est sont autorisés (les pas vers le Nord restent interdits)

Quelle est l'asymptotique du nombre de puits (apparaissant avec proba  $p$ ) que l'on peut attraper par des chemins E, NE dans le carré  $[0, m]^2$ ?

- 1) Tracer les lignes de Hammetley correspondant au problème dans la configuration ci-contre.



- 2) Conserver les notations  $\prod_{v=1}^{u'} \frac{v}{v'}$  (ici  $U=0$  ou  $1$ ,  $K=0$  ou  $1$ , variables  $\geq 0$ ) Exprimer  $(U', V')$  en fonction de  $U, V$  et  $K$ .

- 3) Trouver une famille de distributions stationnaires.
- 4) Optimiser sur un carré et en déduire le résultat.

### Exercice 3 (lemme de J. Casse).

Soit  $\mu$  une mesure de proba sur  $\mathbb{Z}_+$  et introduisons  $(\mu_\Delta)_{\Delta \geq 0}$  la famille de mesures de proba définie par :

$$\mu_\Delta(k) = \mu(k) \mu(\Delta+k) / \left( \sum_{k \geq 0} \mu(k) \mu(\Delta+k) \right)$$

- Soit  $(U, V, K)$  tq  $P(U=i, V=j, K=l) = \mu(i) \mu(j) \mu_{|j-i|}(l)$
- on note  $\begin{cases} U' = K_+ (U-V)^+ \\ V' = K_+ (V-U)^+ \end{cases}$

Montre que  $(U', V') \stackrel{(d)}{=} (U, V)$  (i.e.  $U', V'$  indep de loi  $\mu$ ).

(l'exercice est facile, tout de suite de résoudre stait d'en trouver l'énoncé!)

$$i \geq 0$$

$$P(U'-V'=i, U'+V'=j)$$

$$= P(U-V=i, 2K+|U-V|=j)$$

$$= P(U-V=i, K = \frac{j-i}{2})$$

$$= \sum_{l \geq 0} P(U=l+i, V=l, K = \frac{j-i}{2})$$

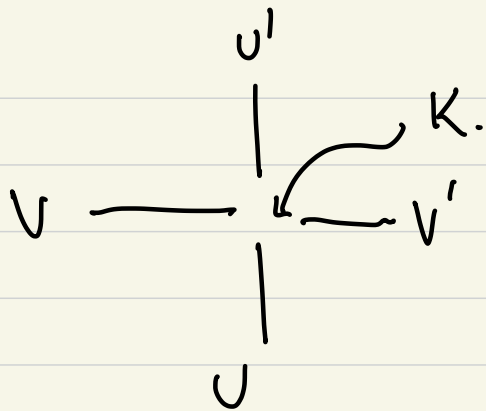
$$= \left( \sum_{l \geq 0} \mu(l+i) \mu(l) \right) \mu_i \left( \frac{j-i}{2} \right)$$

$$= \frac{\mu \left( \frac{j-i}{2} \right) \mu \left( \frac{j+i}{2} \right)}{\sum \mu(k) \mu(i+k)}$$

$$= P\left(U = \frac{i+j}{2}, V = \frac{j-i}{2}\right)$$

$$= \mu \left( \frac{i+j}{2} \right) \mu \left( \frac{j-i}{2} \right)$$





$$\rightarrow \text{et } K=0 \Rightarrow (U', V') = (0, 0)$$

$$(U, V) = (1, 1)$$

$$\rightarrow K=1 \Rightarrow (U', V') = (1, 1)$$

$$(U, V) = (1, 0) \rightarrow (U', V') = (1, 0)$$

$$(U, V) = (0, 1) \Rightarrow (U', V') = (0, 1)$$

$$(U, V) = (0, 0) \text{ et } K=1 \Rightarrow (U', V') = (1, 1)$$

$$(U, V) = (0, 0) \text{ et } K=0 \Rightarrow (U', V') = (0, 0)$$

$$U \sim B(\alpha)$$

$$V \sim B(\beta)$$

$$K \sim B(\phi)$$

$$P(U'=1, V'=1) = \underbrace{P(K=1)}_P \left( \alpha \beta + \bar{\alpha} \bar{\beta} \right).$$

$\alpha \beta$

$$\alpha \beta \bar{p} = \bar{\alpha} \bar{\beta} p$$